

جداسازی، همسانه‌سازی و بررسی ویژگی‌های ژن انتقال‌دهنده هگزوز ۷ (HXT7) از مخمر ساکارومایسین سروویزیه سویه ایرانی

سولماز عزیزی (M.Sc)^{*} (Ph.D)، علیرضا تاری نژاد*

دانشگاه شهید مدنی آذربایجان، دانشکده کشاورزی، گروه بیوتکنولوژی کشاورزی

چکیده

سابقه و هدف: مخمر ساکارومایسین سروویزیه از جمله مهم‌ترین میکرووارگانیسم‌ها برای تولید اتانول است و از طریق تخمیر الکلی باعث تولید اتانول می‌شود. این به دلیل کارایی بالای این موجود در جذب و تخمیر قندهای هگزوز می‌باشد. مخمر ساکارومایسین سروویزیه دارای ۲۰ ژن کدکننده‌ی پروتئین‌های انتقال‌دهنده‌ی هگزوز می‌باشد که شامل GAL2، HXT1-HXT17 و RGT2، SNF3، HXT1-HXT17 از FRT101R باشد. محققین ثابت کردند که با افزایش میزان بیان این ژن‌ها سرعت تخمیر الکلی افزایش و در نتیجه‌ی آن میزان تولید اتانول افزایش می‌یابد هدف این مطالعه شناسایی و جداسازی ژن HXT7 از ژنوم مخمر ساکارومایسین سروویزیه از طریق PCR و همسانه‌سازی آن در وکتور دارای پروموتور بیانی مناسب به منظور پایه‌ای برای طراحی پلاسمید بیانی و نهایتاً مخمر نوترکیب بود.

مواد و روش‌ها: در این تحقیق جداسازی ژن HXT7 با پرایمروهای اختصاصی ژن از طریق PCR صورت گرفت و با انجام لیگاسیون قطعه‌ی تکثیر یافته به پلاسمید pGEM-T کلون شد و به باکتری E. coli ترانسفرم گردید و در نهایت برای تایید نهایی قطعات کلون شده در پلاسمیدهای نوترکیب به توالی یابی فرستاده شدند.

یافته‌ها: توالی نوکلئوتیدی چارچوب بازخوانی این ژن به طول ۱۷۱۳ bp یک پروتئین با ۵۷۰ اسید‌آمینه را رمز می‌کند. وزن مولکولی تخمین زده شده و نقطه آیزووالکتریک پیش‌بینی شده این پروتئین به ترتیب ۶۲/۷۲۵ کیلو Dalton و ۷/۸۹ است.

نتیجه‌گیری: توالی پروتئینی به دست آمده شباهت زیادی با Hxt7p سویه‌های دیگر ساکارومایسین سروویزیه موجود در NCBI دارد و بالاترین درصد تشابه را با Hxt7p ساکارومایسین سروویزیه سویه‌ی S288C ثبت شده در NCBI با کد دسترسی NP010629.3 دارد.

واژه‌های کلیدی: همسانه‌سازی، ساکارومایسین سروویزیه، ژن HXT7، پلاسمید نوترکیب

مقدمه

متداول تولید بیواتanol استفاده از روش‌های تخمیری است که با استفاده از سوبستراهای قندی انجام می‌گیرد [۱، ۲]. امروزه از روش‌های مختلف مولکولی نظری تکنیک کلونینگ در ایجاد استرین‌های ساکارومایسین سروویزیه جهت بهبود راندمان تولید الکلی طی فرآیند تخمیر الکلی استفاده می‌شود [۳، ۴]. با توجه به محدودیت سوخت‌های فسیلی و به علت مصرف روزافرون آن‌ها، تولید سوخت‌های زیستی اهمیت ویژه‌ای یافته است. اولین تکنولوژی تولید سوخت‌های زیستی در مقیاس صنعتی، مربوط به تولید بیواتanol بوده است. روش

به پرومотор ژن‌های HXT متصل و از رونویسی این ژن‌ها بهوسیله یک سری پروتئین دیگر از جمله Cyc8, Tup1, Mth1 و Std1 جلوگیری می‌کند [۱۰]. زمانی که گلوکز در محیط وجود دارد به سنسورهای Snf3 و Rgt2 Rgt1 متصل و منجر به Snf1 و Std1 می‌شود. سپس Mth1 و Std1 فسفوریلاسیون SCFGr1-ubiquitin-Ligase (SCFGr1-ubiquitin-Ligase) یوبی‌کوئتینه شده در کپلکس (Complex) انجام می‌شود. بر طبق اطلاعات موجود خانواده‌ی آن در نهایت در S ۲۶ پروتوزوم تخریب و تجزیه می‌شوند. از طرفی pKA باعث فسفوریلاسیون Rgt1 شده و در نتیجه‌ی آن Rgt1 فسفریله شده از پرومотор ژن‌ها جدا و رونویسی ژن‌های HXT صورت می‌گیرد [۱۱].

هدف این تحقیق کلون ژن HXT7 با توالی صحیح در داخل وکتور pGEM-T و بررسی آن از نظر ترادف ژنی و آمینواسیدی می‌باشد همچنان ویژگی‌های فیزیکوشیمیایی توالی پروتئینی به دست آمده با استفاده از بررسی‌های اختصاصی موجود در پایگاه Swiss-Prot پیش‌بینی شده و بررسی‌های فیلوجنتیکی با سایر ژن‌های این خانواده صورت گرفت.

مواد و روش‌ها

کشت مخمر ساکارومیسیس سرویزیه. سویه‌ی مخمر ساکارومیسیس سرویزیه سویه‌ی ایرانی بوده که در نانوایی و شیرینی‌بزی استفاده می‌شود و از مرکز ملی ذخایر ژنتیکی و زیستی ایران تهیه گردیده است. پس از کشت مخمر در محیط اختصاصی YPD حاوی gr ۱۰ دکستروز، bp96 ۲۰ gr، ۱۰ gr عصاره‌ی مخمر و gr ۱۵ آگار و رشد کلونی‌ها، تک کلونی‌ها به محیط کشت مایع YPD جهت استخراج DNA منتقل و به مدت یک شبانه روز در شیکر انکوباتور در دمای 30°C قرار داده و از آن جهت استخراج DNA ژنمی استفاده شد.

جداسازی DNA. سوسپانسیون حاصل از کشت مخمرها در محیط کشت مایع YPD ابتدا توسط ساتریفیوژ ۱۴۰۰ rpm رسوب داده شد و بر روی رسوب حاصله با فر Harju Triton X-۲ که حاوی %۱ mM SDS، mM EDTA، pH=۸/۰ ۱۰ mM Tris-HCl، ۱۰۰ NACL نقش مهمی دارد. در غیاب گلوکز Rgt1

اکثر مخمرها قدهای شش کربنه گلوکز، فروکتوز و مانوز را برای تخمیر ترجیح می‌دهند که با افزایش غلظت این قندها و سرعت گلیکولیک میزان تولید الكل نیز افزایش می‌یابد. ورود گلوکز به سلول‌های مخمر از طریق انتشار تسهیل شده و از طریق یکسری از پروتئین‌های غشایی که HXT نامیده می‌شود انجام می‌شود. بر طبق اطلاعات موجود خانواده‌ی انتقال‌دهنده‌ی هگزوza در ساکارومیسیس سرویزیه شامل Rgt2p و Snf3p, Gal2p, Hxt1p-Hxt17p می‌باشد. با افزایش فعالیت این انتقال‌دهنده‌ها، تجمع اتانول یا اسید لاکتیک در سلول‌ها بیشتر می‌شود. HXT1-HXT7 جزء مهم‌ترین ناقلین هستند و از نظر متابولیسمی به هم شباخت دارند و با هم در ارتباط هستند. GAL2 برای انتقال گالاكتوز، SNF3 و RGT2 به عنوان سنسور گلوکز عمل می‌کنند. این خانواده‌ی ژنی الگوی بیان متفاوتی داشته و تنظیم آن‌ها به شدت تحت ویژگی کیتیک انتقال‌دهنده‌ها می‌باشد و گلوکز اولین فاکتور کنترل‌کننده‌ی بیان این ژن‌ها می‌باشد [۵,۶].

Hxt7p و Hxt6p یک جفت انتقال‌دهنده‌ی هگزوza هستند. شباخت این دو پروتئین به هم خیلی زیاد است و هر دوی آن‌ها شامل ۵۷۰ اسید‌آمینه هستند این دو ژن پشت سر هم روی بازوی راست کروموزوم IV پایین دست HXT3 قرار دارند. شباخت بین این دو ژن ۹۶ bp قبل از کدون آغاز شروع می‌شود و حضور این ژن‌ها بدین صورت در اکثر استرین‌های آزمایشگاهی گزارش شده است. Hxt7p بیشترین میل ترکیبی را با گلوکز نسبت به سایر ژن‌های این خانواده دارد و میزان خیلی کم گلوکز را (۱۰ تا ۲۰ میکرومولار) قادر به جذب است [۷,۸] و میزان بیان آن در شرایط یکسان نسبت به سایر ژن‌های این خانواده بیشتر است. این ژن در منابع کربنی غیرتخمیری از جمله گلیسرون و اتانول و همچنان مالتوز و گالاكتوز به میزان زیاد بیان می‌شود [۹].

سیگنالینگ گلوکز بهوسیله‌ی سنسورهای Snf3 و Rgt2 انجام می‌شود که در این مسیر یک سرکوب کننده Rgt1

E. coli (MCS) است و ژن انتخابگر آن برای گزینش E. coli برشی (MCS) میباشد همچنین یک مکان ژنی دارای کاست ژنی حاوی β -گلوکونیداز تحت پرومودورهای SP6 و T7 در طرفین سایت برشی اختصاصی (MCS) جهت گزینش به روش Blue-White وجود دارد. پس از انجام لیگاسیون و ایجاد پلاسمید نوترکیب، ترانسفورماتیون به وسیلهٔ شوک حرارتی به باکتری E. coli Top ۱۰ نژاد انجام شد. در مرحلهٔ بعد باکتری‌ها روی محیط LB جامد حاوی آنتیبیوتیک آمپیسیلین، IPTG و X-GAL کشت داده شدند، و پس از ۱۶ ساعت تیمار در دمای ۳۷°C، تعدادی کلونی سفید به عنوان کلونی‌های نوترکیب انتخاب و مورد بررسی دقیق‌تر قرار گرفتند. در نهایت استخراج پلاسمیدهای نوترکیب PCR انجام گرفته و کلونی‌های نوترکیب با استفاده از تکنیک PCR مورد بررسی قرار گرفتند و نمونه‌ها برای توالی‌یابی با دو برایمر T7 و SP6 به کمپانی ماکروژن کره‌ی جنوبی ارسال گردید.

بررسی توالی و پرتوگرافی فیزیکوشیمیایی پروتئین به دست آمده با استفاده از برنامه‌های ProtParam و ProtScale تعیین گردید.

است اضافه شد [۱۲]، تیوب‌ها در اتانول مطلق سرد به مدت ۲ دقیقه و سپس در دمای ۹۵°C یک دقیقه قرار گرفتند، این مرحله تکرار و ورتكس انجام شد در ادامه با افزودن کلروفرم، ورتكس و ساترنیفیوژ، فاز بالایی به تیوب جدید منتقل شده و بر روی آن اتانول مطلق اضافه شد و در دمای ۲۰°C - قرار داده شد، در نهایت DNA مخمر با استفاده از روش‌های رسوپ و خالص‌سازی اسیدونوکلئیک خالص شده و در -۵۰°C میکرولیتر آب مقطر استریل حل گردید. طراحی آغازگر و انجام PCR. ابتدا آغازگرهای مناسب به منظور جداسازی ژن HXT7 با توالی زیر طراحی گردید.

primerF: 5'-ATGTCACAAAGACGCTGCTAT-
3'
primerR: 5'-TTATTGGTGCTAACATTC-
3'

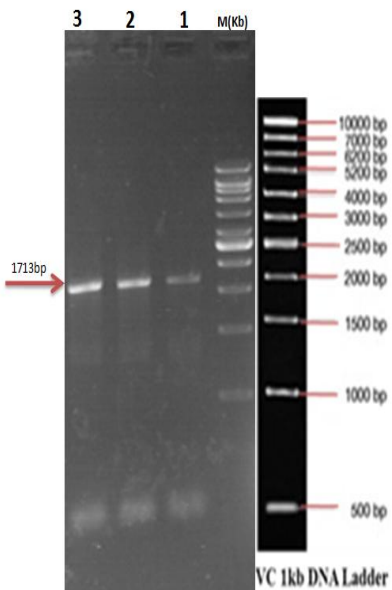
برنامهٔ انجام PCR شامل دنا تواریسیون اولیه به مدت ۴ دقیقه در ۹۴°C و انجام ۲۵ سیکل متوالی (۹۴°C به مدت یک دقیقه، ۴۸°C به مدت ۵۰ ثانیه، ۷۲°C به مدت ۸۰ ثانیه) انجام شد.

همسانه‌سازی در وکتور pGEM-T . بعد از تکثیر ژن توسط PCR و خالص‌سازی آن، عمل لیگاسیون بین ژن و پلاسمید pGEM-T صورت گرفت. پلاسمید pGEM-T شامل pGEM-T و SP6 پلیمراز در طرفین ناحیهٔ سایت

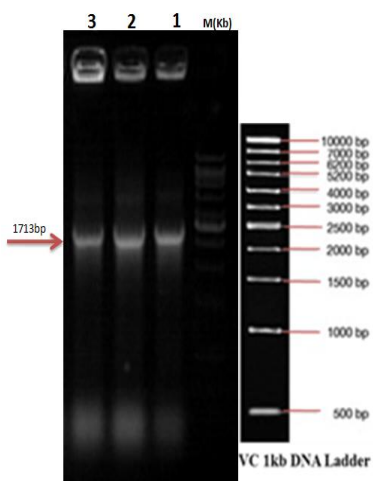
جدول ۱. میزان پکسانی و شباهت توالی اسیدآمینه‌ای سویدهای دیگر مخمر ساکارومیسیس سرویزیه مورد استفاده در تهیه همدیفسازی مقایسه‌ای و ساخت درخت فیلوجنتیکی

درصد یکسانی	درصد تشابه	نام سویه	نام انتخاصی ژن	شماره دستیابی
۱۰۰	۹۹	S. c S288c	Hxt7p	NP 010629.3
۱۰۰	۹۹	S. c S288c	Hxt6p	NP 010630.1
۱۰۰	۹۹	S. c EC1118	Hxt7p	CAY78842.1
۱۰۰	۹۹	S. c x S kudriavzevii VIN7	Hxt7p	EHN07909.1
۹۹	۹۶	S. c YJM789	Hxt7p	EDN60673.1
۸۷	۹۹	S. c Vin 13	Hxt7p	EGA76253.1
۸۸	۹۶	S. c AWR1796	Hxt7p	EGA75554.1
۸۳	۱۰۰	S. c S288c	Hxt4p	NP 011960.2
۷۳	۹۹	S. c S288c	Gal2p	NP 013182.1
۷۶	۹۸	S. c S288c	Hxt3p	NP 010632.1
۷۱	۹۸	S. c S288c	Hxt9p	NP 012316.1
۷۱	۹۸	S. c S288c	Hxt11p	NP 014486.1
۶۸	۹۸	S. c x S kudriavzevii VIN7	Hxt8p	EHN02199.1

حاصل از کلون کردن ژن HXT7 در پلاسمید pGEM-T. پرموتورهای T7 و SP6 امکان مشخص کردن توالی نوکلئوتیدی قطعه‌ی الحقی را فراهم می‌کنند.



شکل ۱. تصویر الکتروفورز محصول PCR با پرایمرهای اختصاصی ژن HXT7 روی DNA ساکارومیسیس سرویزیه. ۱، ۲ و ۳ سه تکرار مستقل هستند، (M) مارکر (Kb)



شکل ۲. تصویر الکتروفورز محصول PCR با پرایمرهای اختصاصی ژن HXT7 روی کلونی pGEM-T+HXT7 . ۱، ۲ و ۳ سه تکرار مستقل هستند، (M) مارکر (Kb)

نتایج توالی یابی با دو پرایمر T7 و SP6 برای ژن HXT7 روی وکتور pGEM-T نمایانگر این بود که موقعیت قرارگیری آن روی سایت برشی اختصاصی (MCS) وکتور در

توالی اسیدآمینه‌ای به دست آمده به منظور یافتن پروتئین‌های مشابه در بانک‌های اطلاعاتی با استفاده از برنامه pBLAST مرکز ملی اطلاعات بیوتکنولوژی آمریکا (NCBI) مورد جستجو قرار گرفته و تعدادی توالی پروتئینی از سویه‌های دیگر ساکارومیسیس سرویزیه که بیشترین شباهت را با توالی مورد نظر داشتند، انتخاب و برای هم‌ردیف‌سازی چندگانه مورد استفاده قرار گرفتند. هم‌چنین بررسی فیلورزتیکی با استفاده از انواع مختلف Hxt7p و انواع ژن‌های انتقال دهنده هگزووز با استفاده از نرم‌افزار MEGA4 انجام شد. توالی‌های پروتئینی از سویه‌های دیگر ساکارومیسیس سرویزیه که برای تهیه هم‌ردیف‌سازی چندگانه مورد استفاده قرار گرفتند به همراه شماره دست‌یابی در جدول ۱ ذکر شده‌اند.

نتایج

پس از استخراج DNA ژنومی مخمر، PCR به منظور تکثیر ژن HXT7 با استفاده از آغازگرهای طراحی شده اجرا گردید. محصول PCR یک باند ۱۷۱۳ جفت بازی روی ژل آگارز نشان داد، که مطابقت با ژن HXT7 موجود در بانک اطلاعاتی NCBI با شماره دست‌یابی NP010629.3 داشت (شکل ۱). پس از خالص‌سازی، محصول PCR در وکتور pGEM-T کلون گردید. برای تایید قطعه‌ی کلون شده، PCR پلاسمیدهای استخراج شده از کلونی‌های ترانسفورم شده انجام شد (شکل ۲). نتایج نشان داد که ژن HXT7 به طور صحیح در پلاسمید pGEM-T کلون شده است. نمونه‌های کلون شده بعد از الکتروفورز و اطمینان از تشکیل باند مورد نظر برای تعیین توالی با دو پرایمر T7 و SP6 به کمپانی ماکروژن کره‌ی جنوبی ارسال گردید.

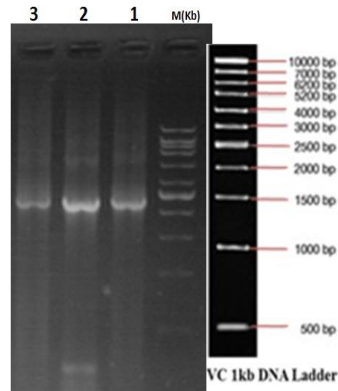
شکل ۳. تصویر الکتروفورز محصول واکنش PCR با پرایمرهای اختصاصی ژن HXT7 روی پلاسمید pGEM-T+HXT7 . ۱، ۲ و ۳ سه تکرار مستقل هستند، (M) مارکر شکل ۴. تصویر شماتیک پلاسمید نوترکیب

ProtParam، به ترتیب ۹۵/۷۵ و حدوداً ۲۰ ساعت محاسبه گردید که بیانگر پایداری و مقاوم بودن پروتئین در برابر حرارت می‌باشد [۱۳]. شاخص Hydropathy محاسبه شده Doolittle با استفاده از برنامه ProtScale و Kyte نشان داد که پروتئین Hxt7p، به دلیل خاصیت احیاء‌کنندگی بالا، به میزان زیادی آب گریز می‌باشد (شکل ۵) [۱۴] و از کل اسیدهای آمینه، ۴۴ اسیدآمینه با بار منفی (Asp+Glu) داشته، در حالی که تعداد کل اسیدهای آمینه با بار مثبت آن برابر ۴۶ می‌باشد. هم‌چنین پیش‌بینی موقعیت زیرسلولی این پروتئین با برنامه PSORT نشان داد که این پروتئین از نوع سیتوپلاسمی بوده و محل فعالیت آن درون غشای پلاسمایی است و از ۱۲ دومین تشکیل شده است (شکل ۶).

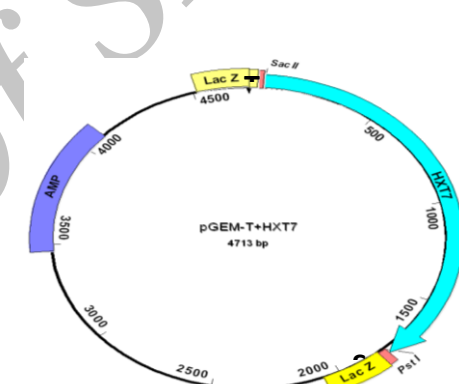
بررسی ساختار دوم پروتئین Hxt7p با استفاده از PSIpred نشان داد که این پروتئین حاوی ۷ رشته β و ۲۳ رشته α می‌باشد (شکل ۷).

توالی پروتئینی بدست آمده از Hxt7p با سایر Hxt7p از سویه‌های دیگر مخمر ساکارومیسیس سرویزیه که بیشترین شباهت را داشتند انتخاب و با استفاده از برنامه Multialign مورد مقایسه قرار گرفتند (شکل ۸) و مشاهده شد که پروتئین بدست آمده بالاترین تشابه را با Hxt7p از مخمر ساکارومیسیس سرویزیه سویه‌ی S288C به میزان ۹۹٪ تشابه و ۱۰۰٪ یکسانی دارد و تنها تفاوت این دو پروتئین در اسیدآمینه است و نیز سویه‌های S. c. x S. c EC1118 با VIN7 kudriavzevii ۹۹٪ تشابه (۱۰۰٪ یکسانی) به میزان ۹۹٪ سویه‌ی ایرانی دارند و تفاوت آن‌ها در ۲ اسیدآمینه است (جدول ۱). درخت فیلوجنتیکی هم که با استفاده از نرم‌افزار MEGA4 رسم شده است نشان می‌دهد پروتئین مورد بررسی ارتباط خیلی نزدیک با سایر پروتئین‌های همتای خود در سویه‌های دیگر مخمر

جهت معمولی می‌باشد و کدون آغاز ATG در سمت T7 قرار دارد و یک پروتئین با ۵۷۰ اسیدآمینه را رمز می‌نماید (شکل ۴).



شکل ۳. تصویر الکتروفوروز محصول واکنش PCR با پرایمرهای اختصاصی ژن *HXT7* روی پلاسمید pGEM-T+HXT7 و ۳۲۱ سه تکرار مستقل هستند، (M(Kb) مارکر VC 1kb DNA Ladder



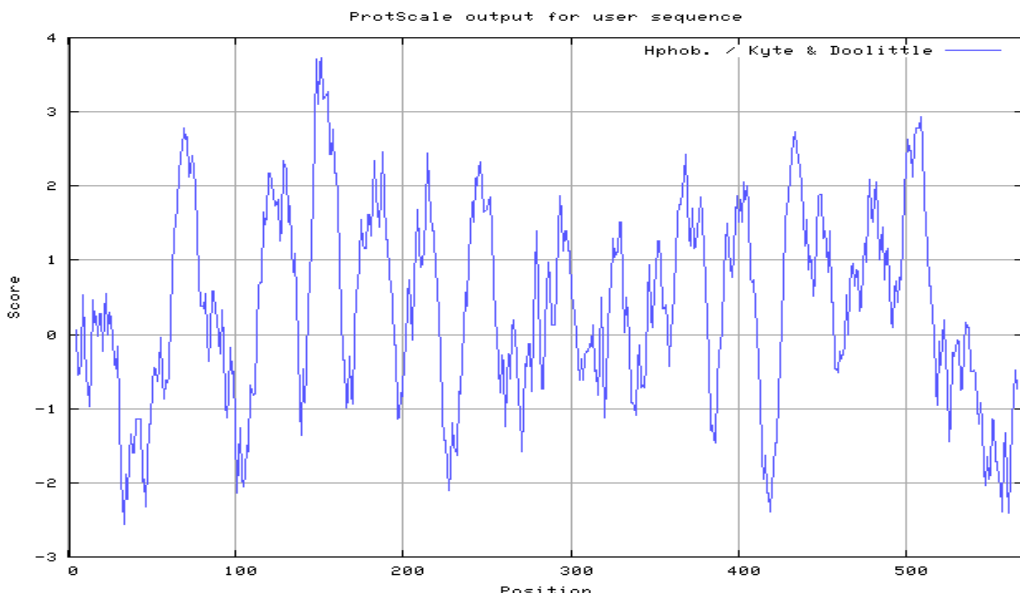
شکل ۴. تصویر شماتیک پلاسمید نوترکیب حاصل از کلون کردن DNA ژن *HXT7* در پلاسمید pGEM-T و SP6 ترموتورهای T7 و ۳۲۱ امکان مشخص کردن توالی نوکلوتیدی قطعه‌ی الحاقی را فراهم می‌کنند.

بررسی ویژگی‌های فیزیکوشیمیایی پروتئین بدست آمده با استفاده از برنامه ProtParam نشان داد که وزن مولکولی محاسبه شده و نقطه آبیوالکتریک پیش‌بینی شده پروتئین C2881H4432N712O793S31 به فرمول مولکولی Hxt7p به ترتیب برابر ۶۲/۷۲۵ کیلو Dalton و ۷/۸۹ بوده و شاخص ناپایداری آن در لوله آزمایش در حدود ۳۷/۲۱ می‌باشد که در رسته پروتئین‌های پایدار تقسیم‌بندی می‌شود. هم‌چنین شاخص Aliphatic (به عنوان یک عامل مهم به منظور برآورده مقاومت پروتئین‌ها در برابر حرارت) و نیمه عمر این پروتئین در محیط درون شیشه‌ای محاسبه شده به وسیله برنامه

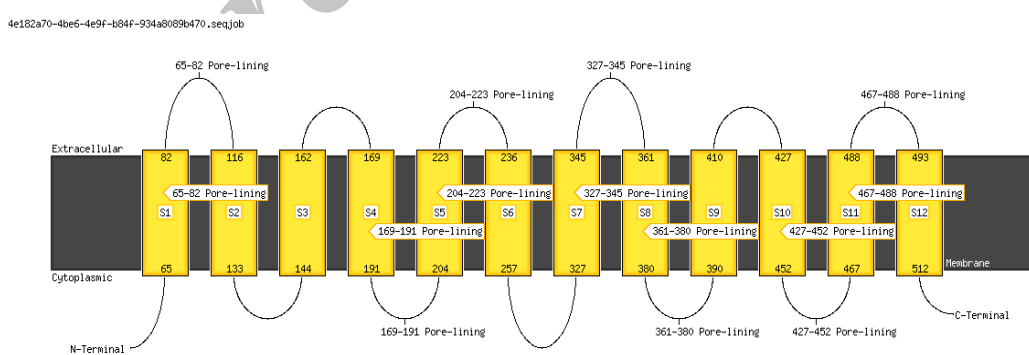
نزدیکی را با ژن‌های HXT7 و HXT6 دارد و کمترین تشابه را با سنسورهای گلوکز یعنی SNF3 و RGT2 دارد (شکل ۱۰). همچنین نتایج pBLAST در سطح پروتئینی نشان داد بروتئین مورد بررسی با Hxt11p, Hxt9p, Hxt3p, Hxt4p و Hxt8p به ترتیب شباهت ۱۰۰٪ (یکسانی ۸۳٪)، ۹۸٪ (یکسانی ۷۶٪)، ۹۸٪ (یکسانی ۷۱٪)، ۹۸٪ (یکسانی ۶۸٪) دارد (جدول ۱).

ساکارومیسین سرویزیه دارد و بیشترین تشابه و نزدیکی را با پروتئین‌های S288c از سویه‌ی Hxt7p و Hxt6 دارد (شکل ۹).

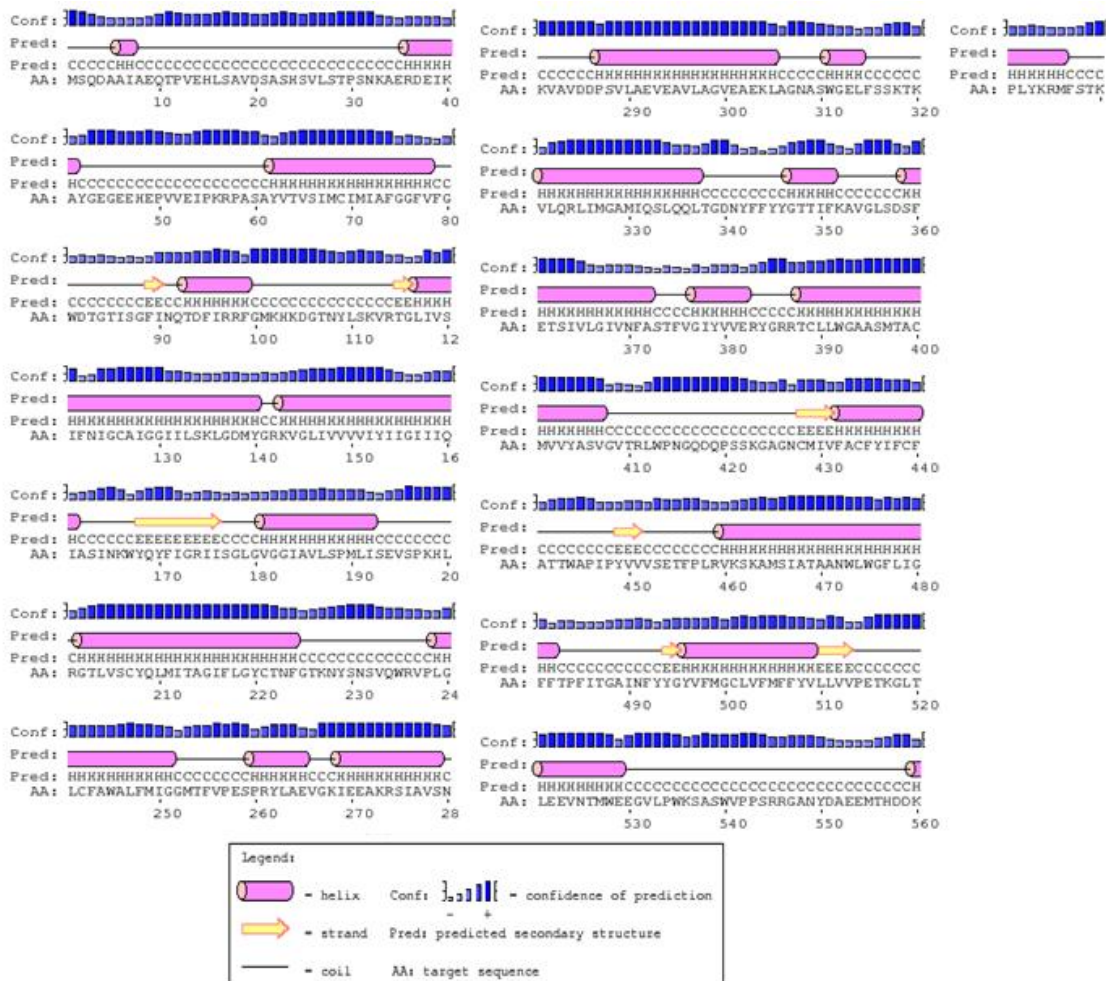
همچنان به منظور آشکارسازی و کشف روابط خویشاوندی آنالیز کلاستر توالی نوکلئوتیدی ژن HXT7 از مخمر ساکارومیسین سرویزیه سویه‌ی ایرانی با سایر ژن‌های خانواده‌ی انتقال دهنده‌های هگروز انجام شد. بر این اساس مشخص شد ژن HXT7 سویه‌ی ایرانی بیشترین شباهت و



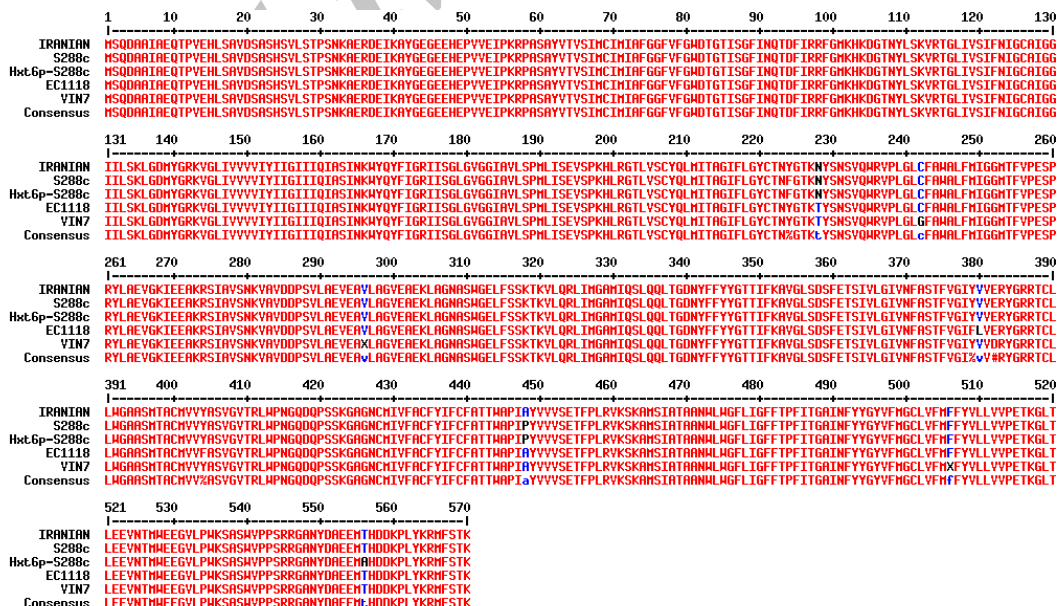
شکل ۵. بررسی شاخص Hydropathic توالی بروتئین Hxt7p



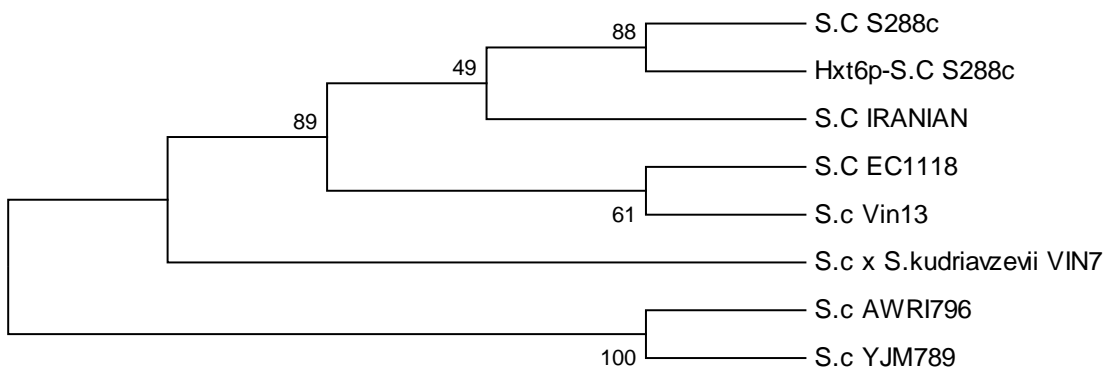
شکل ۶. توپولوژی دو بعدی از سنسور گلوکز Hxt7p دومین‌های انتقال دهنده از ۱ تا ۱۲ شماره گذاری شده‌اند. بررسی ساختار دوم پروتئین Hxt7p با استفاده از PSIpred نشان داد که این پروتئین حاوی ۷ رشته β و ۲۲ مارپیچ α می‌باشد (شکل ۷).



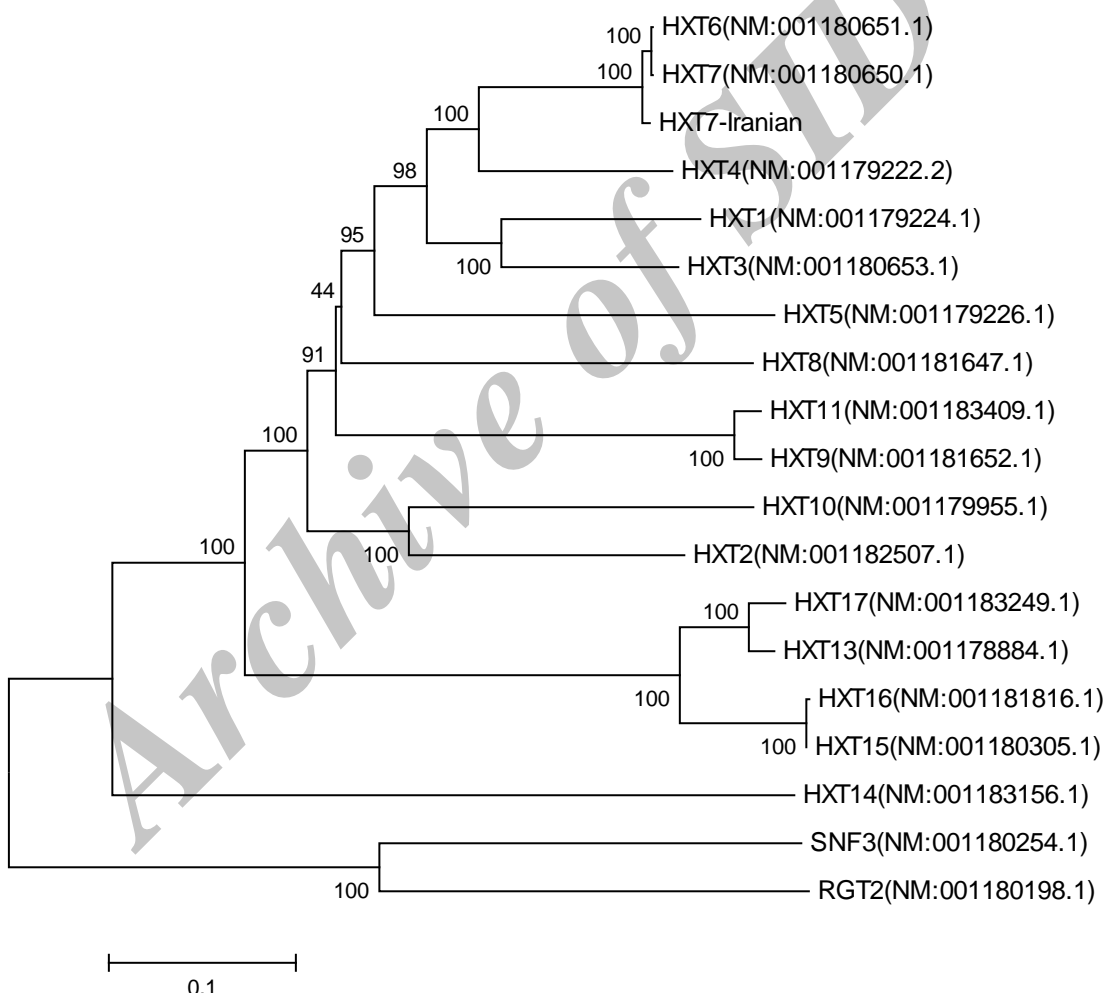
شکا ۷. ساختار دو بعدی با استفاده از پر نامه PSIpred



شکل ۸. هم‌ردیفی مقایسه‌ای توالی اسید آمینه‌ای HXT7 کلون شده در وکتور pGEM-T با توالی اسید آمینه‌ای سایر HXT‌های سویه‌های دیگر مخمر ساکارومیسیس سروزینیه موجود در NCBI با استفاده از برنامه Multialign. ردیف آخر توالی‌های مورد توافق را سمت از مقایسه نشان می‌دهد



شکل ۹. درخت فیلوجنیکی توالی اسیدآمینه‌ای Hxt7p مخمر ساکارومیسنس سرویزیه سویه‌ی ایرانی با سایر ژن‌های همتای خود در سویده‌های دیگر مخمر ساکارومیسنس سرویزیه موجود در بانک اطلاعاتی NCBI با استفاده از نرم‌افزار MEGA4 رسم شد.



شکل ۱۰. درخت فیلوجنیکی توالی نوکلئوتیدی ژن HXT7 مخمر ساکارومیسنس سرویزیه سویه‌ی ایرانی با سایر ژن‌های انتقال‌دهنده‌ای هگروز مخمر ساکارومیسنس سرویزیه موجود در بانک اطلاعاتی NCBI با استفاده از نرم‌افزار MEGA4 رسم شد. کد دسترسی هر ژن داخل پرانتز آورده شده است.

نوترکیب، این پلاسمید به سلول‌های باکتری *E. coli* نژاد Top10 ترانسفرم شد. بر اساس آنالیزهای مختلف بیوانفورماتیکی (هم‌ردیفی مقایسه‌ای، بلاست، درخت

بحث و نتیجه‌گیری

در این مطالعه ژن HXT7 پس از تکثیر با استفاده از روش PCR در وکتور pGEM-T کلون شد. پس از تایید پلاسمید

گزارش از جداسازی و کلونینگ این ژن از طریق مهندسی ژنتیک در ایران است [۱۶].

توالی ژن HXT7 ابتدا در وکتور پایه‌ی pGEM-T کلون شد تا محدوده‌ی استفاده از آنزیم‌های برشی برای کلونینگ افزایش یابد برای بیان این ژن نیاز به یک پروموتور قوی نظری GAPDH-promoter و ADH-promoter می‌باشد که این پروموتورها باعث افزایش میزان جذب قندهای هگزوژن توسط سلول‌های مخمر می‌شود که در نهایت میزان تولید الكل طی فرآیند تخمیری افزایش می‌یابد.

این مطالعه راهی برای پیش‌رفت تولید پلاسمیدهای نوترکیب و بیان این ژن برای مطالعه آینده است. در این تحقیق با استفاده از روش مهندسی ژنتیک ژن HXT7 جداسازی و کلون گردیدند. امید است با بررسی بیشتر روی این ژن و سایر ژن‌های این خانواده احتمالاً در آینده مخمر نوترکیب جهت افزایش راندمان تولید الكل طی تخمیر ساکارومیسیس سرویزیه تهیه نمود.

تشکر و قدردانی

از معاونت محترم پژوهشی دانشگاه شهید مدنی آذربایجان به خاطر فراهم نمودن امکانات مالی این تحقیق تشکر و قدردانی می‌گردد.

منابع

[1] De Bari I, De Canio P, Cuna D, Liuzzi F, Capece A, Romano P. Bioethanol production from mixed sugars by Schefersomyces stipitis free and immobilized cells, and co-cultures with *Saccharomyces cerevisiae*. *N Biotechnol* 2013; 30: 591-597.

[2] Singh A, Bishnoi RN. Optimization of ethanol production from microwave alkali pretreated rice straw using statistical experimental designs by *Saccharomyces cerevisiae*. *Indust Crops Produc* 2012; 37: 334-341.

[3] Rossi G, Sauer M, Porro D, Branduardi P. Effect of HXT1 and HXT7 hexose transporter overexpression on wild-type and lactic acid producing *Saccharomyces cerevisiae* cells. *Microb Cell Fact* 2010; 9: 1-10.

[4] Gutierrez-Lomeli M, Torres-Guzman JC, Gonzalez-Hernandez GA, Cira-Chavez LA, Pelayo-Ortiz C, Ramirez-Cordova Jde J. Overexpression of ADH1 and HXT1 genes in the yeast *Saccharomyces cerevisiae* improves the fermentative efficiency during tequila elaboration. *Antonie Van Leeuwenhoek* 2008; 93: 363-371.

[5] Ozcan S, Johnston M. Function and regulation of yeast hexose transporters. *Microbiol Mol Biol Rev* 1999; 63: 554-569.

[6] Perez M, Luyten K, Michel R, Riou C, Blondin B. Analysis of *Saccharomyces cerevisiae* hexose carrier expression

فیلوژنیکی) مشخص شد این پروتئین شباهت زیادی با ساکارومیسیس سرویزیه سویه‌های دیگر ثبت شده در NCBI دارد و این نشان می‌دهد Hxt7p در اکثر سویه‌های ساکارومیسیس سرویزیه حفظ شده است. همچنان بررسی‌های فیلوژنیکی HXT7 ایرانی با سایر خانواده‌ی انتقال‌دهنده‌های هگزوژن نشان از تشابه و ارتباط نزدیک HXT7 با این خانواده ژنی است و از بین آن‌ها بیشترین تشابه را با HXT6 دارد. اثر بیان بیشینه‌ی این خانواده‌ی ژنی در مخمرها مورد مطالعه قرار گرفته است و تولید اتانول را در سویه‌ی وحشی مخمر با سویه‌ی مهندسی شده مقایسه کردند. داده‌های به دست آمده نشان دادند که تظاهر بیش از حد این انتقال‌دهنده‌ها منجر به افزایش دریافت گلوكز شود. محققین نشان دادند که با تنظیم کردن اولین مرحله‌ی مسیر بیوسنتز گلوكز می‌توان منجر به تجمع اسید لکتیک شد، که یک افزایشی در حدود ۱۵٪ در تولید اتانول در مقایسه با سویه‌ی وحشی مشاهده کردند [۴،۳]. بارها این خانواده‌ی ژنی روی پلاسمیدهای مختلف کلون شده و افزایش تولید اتانول در سویه‌ی مهندسی شده در مقایسه با سویه‌ی وحشی مخمر مشاهده شده است. به طور مثال Rossi و همکاران (۲۰۱۰) از بین انتقال‌دهنده‌ی هگزوژن ساکارومیسیس سرویزیه HXT1 و HXT7 را کلون کرده و افزایش تولید اتانول را در سویه‌ی مهندسی شده مشاهده کردند. در سال ۲۰۱۲ نیز GXF1, GXS1, HXT1, HXT7 و Condida intermedia (انتقال‌دهنده‌ی زایلوز) از پلاسمید pUPG1 کلون کرده در نهایت به مخمر MT8-1/XkdXI منتقل کردند. نتیجه‌ی کارشان را با پلاسمید کنترل مقایسه کردند و افزایش تولید اتانول را با تقویت برداشت گلوكز و زایلوز مشاهد کردند. این نتایج به طور آشکار نشان می‌دهند که افزایش بیان انتقال‌دهنده‌ها در مخمر می‌تواند توانایی تولید اتانول را به میله‌ی تسهیل مصرف گلوكز بهبود بخشد [۱۵]. در ایران نیز ژن HXT2 از طریق بهینه‌سازی PCR از ساکارومایسیس سرویزیه سویه‌ی ایرانی جدا و در پلاسمید pTZ57R/T کلون شد. این ژن با شماره دسترنسی JQ 323554.1 در بانک جهانی ژن ثبت شده است. این اولین

- [12] Harju S, Fedosyuk H, Peterson KR. Rapid isolation of yeast genomic DNA: Bust n' Grab. *BMC Biotechnol* 2004; 21: 4-8.
- [13] Gasteiger E, Hoogland C, Gattiker A, Duvaud S, Wilkins MR, Appel RD, Bairoch A. Protein identification and analysis tools on the ExPASy server. 2005; pp: 571-607. In: John M, Walker, editor. *The proteomics protocols handbook*. Totowa, NJ: Humana Press.
- [14] Kyte J, Doolittle RF. A simple method for displaying the hydrophobic character of a protein. *J Mol Biol* 1982; 157: 105-132.
- [15] Takanori T, Tomonori I, Chiaki O, Naoto O, Takayuki O, Akihiko K. Sugar consumption and ethanol fermentation by transporter-overexpressed xylose-metabolizing *Saccharomyces cerevisiae* harboring a xyloseisomerase pathway. *J Biosci Bioeng* 2012; 114: 209-211.
- [16] Amiri S, Tarinejad A, Sharifi Sirchi Gh. Cloning and DNA sequence analysis of the glucose transporter gene2 from Iranian *Saccharomyces cerevisiae*. *Koomesh* 2012; 2: 138-143 (Persian).
- during wine fermentation: both low- and high-affinity Hxt transporters are expressed. *FEMS Yeast Res* 2005; 5: 351-361.
- [7] Reifenberger E, Boles E, Ciriacy M. Kinetic characterization of individual hexose transporters of *Saccharomyces cerevisiae* and their relation to the triggering mechanisms of glucose repression. *Eur J Biochem* 1997; 245: 324-333.
- [8] Reifenberger E, Freidel K, Ciriacy M. Identification of novel HXT genes in *Saccharomyces cerevisiae* reveals the impact of individual hexose transporters on glycolytic flux. *Mol Microbiol* 1995; 16: 157-167.
- [9] Liang H, Gaber RF. A novel signal transduction pathway in *Saccharomyces cerevisiae* defined by SNF3-regulated expression of HXT6. *Mol Biol Cell* 1996; 7: 1953-1966.
- [10] Lakshmanan J, Mosley AL, Ozcan S. Repression of transcription by Rgt1 in the absence of glucose requires Std1 and Mth1. *Curr Genet* 2003; 44: 19-25.
- [11] Kim JH, Polish J, Johnston M. Specificity and regulation of DNA binding by the yeast glucose transporter gene repressor Rgt1. *Mol Cell Biol* 2003; 23: 5208-5216.

Archive of SID

Isolation, cloning and analysis of the glucose transporter gene 7 from Iranian strain of *Saccharomyces cerevisiae*

Solmaz Azizi (M.Sc)¹, AliReza Tarinejad (Ph.D) ^{*2}

1 – Dept. of Biotechnology, Faculty of agriculture, Azarbaijan Shahid Madani University, Tabriz, Iran

2 – Dept. of Biotechnology, Faculty of agriculture, Azarbaijan Shahid Madani University, Tabriz, Iran

(Received: 24 May 2014; Accepted: 8 Nov 2014)

Introduction: The most important and specific known action for *Saccharomyces cerevisiae* yeast is producing ethanol by alcohol fermentation and that is probably due to its high efficiency for absorption and fermentation of hexose sugars. The *S. cerevisiae* express 20 genes that encode hexose transporter proteins, including *hxt1-hxt17*, *gal2*, *snf3* and *rgt2*. Among all those gene families, *hxt1-hxt7* have important role in alcohol production. It has been shown that increasing the expression *hxt1-hxt7* accelerates alcohol fermentation and therefore, ethanol production. The aim of this study was to identify and isolate *hxt7* from *Saccharomyces cerevisiae* genome, using PCR and cloning it into a vector containing suitable expression promoter in order to produce recombinant yeast by transformation.

Materials and Methods: Isolation of *hxt7* by specific primers was achieved via PCR. The amplified fragments were cloned into pGEM-T vector and transformed into *Escherichia coli* and finally, the recombinant plasmids were sent to sequencing.

Results: The nucleotide sequence of open reading frame in gene was revealed a 1713 bp long with a deduced amino acid of 570 residues. The estimated molecular mass and the predicted isoelectric point of the deduced polypeptide were 62.725 kDa and 7.89, respectively.

Conclusion: The deduced protein sequence showed a high similarity to *hxt7* sequences registered in NCBI and with the highest percentage of similarity to Hxt7p *S.cerevisiae* S288C recorded at NCBI with access code NP010629.3.

Key words: Cloning, *Saccharomyces cerevisiae*, *HXT7* gene, Recombinant plasmids

* Corresponding author. Tel: +98 4134327572

atarinejad@yahoo.com